

세균독소와 Mycoplasmas 항원으로 자극시킨 사람 섬유아세포의 Interleukin-6와 Interleukin-8 생성의 변화

고신대학교 의과대학 미생물학교실

김 광 혁 · 장 명 응

=Abstract=

Production of IL-6 and IL-8 in Human Fibroblasts Stimulated with Mycoplasma Lysates and Bacterial Toxins

Kwang-Hyuk Kim and Myung-Woong Chang

Department of Microbiology, Kosin Medical College, Pusan, Korea

Cytokines are hormone-like proteins which mediate and regulate inflammatory and immune responses. The purpose of this study was to investigate the effect of lipopolysaccharide (LPS), *Staphylococcus enterotoxin B* (SEB), and Mycoplasma lysates on regulation of IL-6 and IL-8 production by human nasal fibroblasts.

Primary cultured cells were incubated with LPS (1.0 µg/ml) from *E.coli*, SEB (1.0 µg/ml) from *S.aureus*, or Mycoplasma lysates (*M.pneumoniae*, Mp; *M. fermentans*, Mf; *M. hominis*, Mh, each 1.0 µg/ml). The culture supernatants were collected at 2, 6, and 24 hr and assessed for IL-6 and IL-8 production by enzyme-linked immunosorbent assay.

The production of IL-6 in the culture supernatant was downregulated by LPS, SEB, or Mycoplasma lysates. But IL-6 was upregulated by mixed exposure with Mp+LPS (2 hr), Mp+LPS+SEB (24 hr), Mf+LPS (24 hr), Mf+LPS+SEB (2 hr), Mh+LPS (24 hr), Mh+SEB (24 hr), or Mh+LPS+SEB (24 hr).

The production of IL-8 in the culture supernatant was similar to that of IL-6 by same stimulants. But IL-8 was upregulated by mixed exposure with Mf+LPS+SEB (2 hr), Mh+LPS (24 hr), Mh+SEB (24 hr), or Mh+LPS+SEB (24 hr). These studies show that costimulation of LPS or SEB with Mycoplasma whole cell lysates upregulates the production of IL-6 and IL-8.

Key Words: Human Fibroblast, Interleukin-6, Interleukin-8

서 론

Interleukin-6 (IL-6)은 단구, B 세포, T 세포, 혈관내피세포, 섬유아세포, 피부 각질세포 등의 세포에서 생성되는 다 기능성 사이토카인이다^{14,15,17,21,30,38)}. IL-6은 당초 B cell stimulatory factor 2 (BSF

2), hybridoma/plasmacytoma growth factor (HPGF), hepatocyte stimulating factor (HSF), interferon-β2 (IFN-β2) 등으로 각각 따로 분리되었으나 이들은 모두 26 KD의 같은 물질로 판명됨으로서 IL-6으로 통일되었다¹⁹⁾. IL-6의 기능으로서 B 세포에 대하여는 면역글로불린 생성을 유도하고, T 세포에 대하여는 killer T 세포의 유도, IL-2 수용체 발현

접수 : 2000년 1월 27일, 개재결정 : 2000년 1월 27일

Corresponding author: 김광혁, Department of Microbiology, Kosin Medical College, Pusan, Korea

김광혁, 장명웅: Mycoplasmas에 의한 IL-6와 IL-8의 생성

유도, 증식 유도, 조혈간세포에 대하여는 Go기의 단축, 거핵세포에 작용하여 혈소판 생성 유도, 각질세포, 신장 사구체간질세포, 골수종 세포의 증식 유도, 염증 시 간세포로부터의 급성기단백 생성 유도, 일부민 생성억제 등의 작용이 있음이 *in vitro* 실험을 통하여 밝혀졌다^{24,29)}. 생체에서 IL-6의 생성이 항진되면 고 감마 글로불린혈증, 급성기단백 증가, 혈소판 증가 등의 특징적인 증상을 보이게 되며 IL-6의 생성이 조절되지 않는 질환으로는 심장 점액종, 류마티스양 관절염, Castleman's 질환, 형질세포종, 골수종, 전선 등이 있다^{5,7,9,11,16,22,23,27,31,36,39)}. 급성기반응은 염증이나 조직 손상에 대한 전신반응이다³⁴⁾. 보통 급성기단백이 상승됨과 함께 백혈구증다증, 발열, 혈관투과성항진, 혈장 내 금속이온 및 스텔로이드 농도의 변화가 나타난다^{10,37)}. 간세포에 의한 급성기단백의 생합성은 몇몇 인자, 즉 IL-1, TNF, HSF에 의해서 조절된다^{8,28,35)}. IL-1은 주요 급성기 조절자로 처음에는 생각되었지만 단지 부분적으로 급성기반응을 유도할 수 있다. 재조합 IL-6과 항-IL-6 항체를 이용한 실험을 통하여 IL-6가 HSF로서 작용하게 되며 단구배양에서의 HSF 활성은 IL-6에 의해서 발휘된다는 것이 밝혀졌다²¹²⁾. IL-6은 사람 간암세포 주인 HepG2 세포에서 파이브리노젠, 알파1-항기모트립신, 알파1-산-당단백, 합토글로빈과 같은 다양한 급성기단백을 유도한다. 이러한 단백들에 추가하여 사람 간세포의 초대배양 (primary culture)에서는 혈청 아밀로이드 A, C-반응단백, 알파1-항트립신을 유도한다⁶⁾. 쥐에 IL-6를 투여했을 때 turpentine을 주사하여 나타나는 반응과 유사한 전형적인 급성기반응을 유도한다. 더욱이, IL-6으로 유도시킨 급성기단백에 대한 mRNA의 발현은 turpentine에 의해서 유도되는 반응보다 빨리 나타난다¹³⁾. 이러한 결과를 통하여 급성기반응에 있어서 IL-6의 생체 내 역할을 알 수 있다. 또한 혈청 내 IL-6의 량은 화상 환자에서 발열 및 C-반응단백의 량과 깊은 상관관계를 나타내며 이러한 것들은 급성기반응에서의 IL-6의 원인론적 역할을 보여주게 된다²⁵⁾.

Interleukin-8 (IL-8)은 lipopolysaccharide (LPS)로 자극시킨 단핵구에서 분비되는 호중구주화성인자로 처음 밝혀졌지만 이후 비교적 다양한 세포들에서 생성되고 있음이 알려지고 있다. 즉, 단구를 비롯하여 mitogen으로 자극시킨 T림프구, 호중구, 호산구, 섬유아세포, 활액세포, 내피세포, 중

피세포, 상피세포, 각질세포 등이 생성세포에 포함된다^{4,10,18,20,22,32,33)}. 또한 그 기능에 있어서도 호중구의 주화를 자극시킬 뿐만이 아니라 호중구의 탈파립을 유도하고 T림프구와 호염기구의 주화를 유도시킴이 시험관 실험 결과 나타났다. 생체실험에 있어서 IL-8이 나타내는 생물활성은 피부에 주사하였을 때 호중구와 림프구가 주사부위로 침윤되는 것을 볼 수 있게 되고 국소 림프절로의 림프구 유주현상, 말초혈액 내에 호중구 수의 증가, 혈관의 투과성항진, 관절활막과 폐포의 파괴등이 나타난다^{1,3,26)}.

본 실험에서는 정상인의 하비갑개 (inferior turbinate of nose)로부터 분리한 섬유아세포를 초대배양하고 여기에 mycoplasmas 항원이나 *Staphylococcus enterotoxin B* (SEB), LPS와 같은 독소를 노출시키거나 이들을 혼합 자극시켰을 때 나타나는 염증관련 물질로서의 IL-6과 IL-8의 생성능을 보고자 한다.

재료 및 방법

1. 섬유아세포의 배양

정상인의 하비갑개 (inferior turbinate of nose)로부터의 조직절편 2~5 mm³를 무균적으로 생검하여 1 mm³ 크기로 절편한 후 조직을 우태아혈청 (fetal calf serum, FCS, Boehringer Mannheim, Mannheim, Germany)을 10% 추가하여 만든 Eagle's minimum essential medium (EMEM, Gibco, Grand Island, USA) 2 ml을 적하한 60 mm 조직배양용 접시 (Costar, Cambridge, USA)에 정치하고 멸균된 cover slip으로 고정한 뒤 37°C, 5% CO₂ 배양기에 넣어 3~4일 간격으로 배지를 교환하면서 배양하였다. 약 3주 후에 배양용 접시 전체에 단층으로 형성된 섬유아세포로부터 배지를 흡입하여 버리고 phosphate buffered saline (PBS)로 1회 세척한 후 0.25% trypsin 0.3 ml을 첨가한 후 배양기에서 5분 동안 방치하였다. 박리된 세포들은 10% FCS EMEM으로 재부유시켜 사이토카인 생성세포로 사용하였다.

2. 섬유아세포 배양상층액의 준비

1) Mycoplasmas 항원, LPS 및 SEB의 준비

Deep freezer에 보관중인 Mycoplasma 균주들 중 *M. pneumoniae* (Mp), *M. fermentans* (Mf), *M. hominis* (Mh)를 각각 Chanock 증균배지 5 ml에 접종하

여 5~7일간 배양하였다. 배양된 균액을 중균용배지 100 ml, 1000 ml, 4000 ml 순으로 중균시켜 이를 20,000 g에서 1시간 원침하였다. 상층액을 제거한 후 균체들 만을 다시 PBS로 3회 씻은 다음 20 ml의 PBS로 부유시켰다. 균부유액을 100 watt에서 10분간 초음파처리 한 후 단백질 농도를 측정하여 사용하였다. Lipopolysaccharide (LPS)와 *Staphylococcus enterotoxin B* (SEB)는 Sigma 사 (Sigma, St. Louis, USA)에서 구입하여 사용하였다.

2) Interleukin-6 (IL-6)과 interleukin-8 (IL-8)의 생성

부유시킨 섬유아세포 ($2.5 \times 10^5/\text{ml}$) 1 ml씩을 24 wells 배양용 plate (Corning, NY, USA)에 분주한 후 단독노출의 경우에는 ml 당 mycoplasmas 항원 1.0 μg , LPS 1.0 μg , SEB 1.0 μg 을 각각 작용시켰다.

중복노출의 경우에는 먼저 mycoplasmas 항원 1.0 μg 씩을 작용시킨 후 LPS나 SEB를 추가노출시켰다. 이들을 37°C, 5% CO₂ 배양기에서 2, 6, 24시간 동안 배양하여 배양상층액을 수거하였다. 용량별 시험 well은 triplicate로 시행하였다. 수거된 배양상층액은 300 g에서 30분간 원침시킨 후 그 상층액을 수거하여 -70°C에 보관하면서 IL-6와 IL-8 생성효과 측정에 사용하였다.

3. IL-6의 측정

IL-6의 측정은 PREDICTA® Human IL-6 ELISA kit (Genzyme, Cambridge, U.S.A.)을 이용하였다. 간략하면 미리 IL-6에 대한 모노클론항체가 부착된 96 wells microplate의 각 well에 시료 100 μl 씩을 적하하여 37°C 배양기에서 30분 동안 방치하였다.

Table 1. Production of IL-6 in cultures of human fibroblast with toxins and Mycoplasma lysate (ng/ml)

	Hours		
	2	6	24
Mp+LPS	1.90±0.03 ^b	1.19±0.06 ^b	1.28±0.05 ^a
Mp+SEB	1.40±0.05 ^b	1.54±0.12 ^a	1.33±0.08
Mp+LPS+SEB	1.21±0.07 ^b	1.70±0.01 ^b	1.73±0.08 ^b
Mf+LPS	1.17±0.05 ^b	1.47±0.14 ^a	1.67±0.03 ^b
Mf+SEB	1.48±0.11 ^a	1.39±0.09 ^b	1.23±0.11
Mf+LPS+SEB	1.80±0.03	1.65±0.12	1.30±0.01
Mh+LPS	1.40±0.07 ^b	1.78±0.12	1.86±0.03 ^b
Mh+SEB	1.42±0.17	1.58±0.01 ^b	1.80±0.04 ^b
Mh+LPS+SEB	1.70±0.01	1.60±0.01 ^b	1.60±0.04 ^a
LPS	1.12±0.06 ^b	0.98±0.02 ^b	1.09±0.08 ^b
SEB	1.30±0.08 ^b	0.72±0.03 ^b	0.91±0.17 ^a
Mp	0.96±0.04 ^b	1.30±0.07 ^b	0.97±0.10 ^b
Mf	0.81±0.02 ^b	1.13±0.06 ^b	1.23±0.03 ^b
Mh	0.84±0.04 ^b	0.99±0.01 ^b	0.99±0.01 ^b
Control	1.72±0.03	1.85±0.01	1.42±0.04

Human fibroblasts ($2.5 \times 10^5/\text{ml}$) were cultivated with toxins (lipopolysaccharide, LPS; *Staphylococcus enterotoxin B*, SEB, 1.0 μg each) and Mycoplasma (*M. pneumoniae*, MP; *M. fermentans*, Mf; *M. hominis*, Mh, 1.0 μg each) lysates for 2, 6, and 24 hr. IL-6 was measured in the culture supernatant. Data are mean±SD.

^a : p<0.05 compared with control. ^b : p<0.01 compared with control.

세척용 완충액으로 5번 세척한 후 biotinylated 항체액 100 μl씩을 적하하여 다시 37°C 배양기에서 30분 동안 방치하였다. 세척용 완충액으로 5번 세척한 후 peroxidase labeled avidin 액 100 μl씩을 적하하여 다시 37°C 배양기에서 15분 동안 방치하였다. 세척용 완충액으로 5번 세척한 후 tetramethylbenzidine 기질액 100 μl씩을 적하하여 다시 실온에서 10분 동안 방치하였다. 여기에 stop 액 100 μl씩을 가한다. Optical density는 microplate reader (Model 550 microplate reader, Bio-Rad, U.S.A.)를 이용하여 450 nm에서 측정하였다. standard curve 작성을 위한 시험도 동시에 시행하였다.

4. IL-8의 측정

IL-8의 측정은 PREDICTA® Human IL-8 ELISA

kit (Genzyme, Cambridge, U.S.A.)을 이용하였다. 간략하면 미리 IL-8에 대한 모노클론항체가 부착된 96 wells microplate의 각 well에 시료회석액 50 μl씩을 작용시킨 다음 시료 50 μl씩을 적하하여 실온에서 60분 동안 방치하였다. 세척용 완충액으로 5번 세척한 후 biotinylated 항체액 100 μl씩을 적하하여 다시 실온에서 90분 동안 방치하였다. 세척용 완충액으로 5번 세척한 후 streptavidin 액 100 μl씩을 적하하여 다시 실온에서 20분 동안 방치하였다. 세척용 완충액으로 5번 세척한 후 tetramethylbenzidine 기질액 100 μl씩을 적하하여 다시 실온에서 30분 동안 방치하였다. 여기에 stop 액 100 μl씩을 가하였다. Optical density는 microplate reader (Model 550 microplate reader, Bio-Rad, U.S.A.)를 이용하여 450 nm에서 측정하였다. 표준곡선의 작성

Table 2. Production of IL-8 in cultures of human fibroblast with toxins and Mycoplasma lysate (ng/ml)

	Hours		
	2	6	24
Mp+LPS	2.09±0.05 ^b	1.80±0.05 ^b	1.73±0.01 ^b
Mp+SEB	1.69±0.01 ^b	1.73±0.10 ^b	2.11±0.05 ^a
Mp+LPS+SEB	1.76±0.01 ^b	2.05±0.02 ^b	2.10±0.05 ^a
Mf+LPS	1.81±0.02 ^b	2.15±0.01 ^b	2.12±0.02 ^b
Mf+SEB	1.76±0.05 ^b	2.16±0.05 ^b	2.17±0.06
Mf+LPS+SEB	2.42±0.01 ^b	2.17±0.06 ^b	2.20±0.02 ^a
Mh+LPS	2.22±0.01 ^a	2.21±0.08 ^a	2.46±0.07 ^a
Mh+SEB	2.23±0.02	2.33±0.11	2.44±0.04 ^a
Mh+LPS+SEB	2.26±0.04	2.53±0.04	2.56±0.01 ^b
LPS	1.44±0.02 ^b	1.09±0.01 ^b	1.14±0.01 ^b
SEB	1.09±0.07 ^b	1.14±0.03 ^b	1.26±0.03 ^b
Mp	1.07±0.05 ^b	1.31±0.05 ^b	1.36±0.01 ^b
Mf	1.07±0.03 ^b	1.31±0.02 ^b	1.28±0.05 ^b
Mh	1.09±0.01 ^b	1.25±0.01 ^b	1.03±0.04 ^b
Control	2.28±0.02	2.55±0.09	2.28±0.03

Human fibroblasts (2.5×10^5 /ml) were cultivated with toxins (lipopolysaccharide, LPS; Staphylococcus enterotoxin B, SEB, 1.0 μg each) and Mycoplasma (*M. pneumoniae*, MP; *M. fermentans*, Mf; *M. hominis*, Mh, 1.0 μg each) lysates for 2, 6, and 24 hr. IL-6 was measured in the culture supernatant. Data are mean±SD.

^a: p<0.05 compared with control. ^b: p<0.01 compared with control.

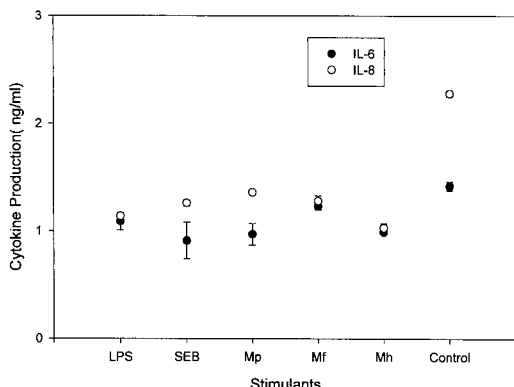


Figure 1. Production of IL-6 and IL-8 in cultures of human fibroblast exposed to stimulants. Supernatants were collected after 24 hr. Cultures were exposed to LPS (1.0 μ g/ml), SEB (1.0 μ g/ml), or Mycoplasma lysates (*Mycoplasma pneumoniae*, Mp; *M. fermentans*, Mf; *M. hominis*, Mh each 1.0 μ g/ml) during the entire culture period. Data are mean \pm SD.

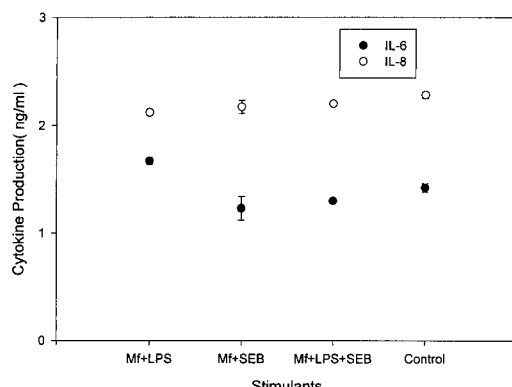


Figure 3. Production of IL-6 and IL-8 in cultures of human fibroblast exposed to *M. fermentans* plus bacterial toxins. Supernatants were collected after 24 hr. Cultures were exposed to *M. fermentans* lysate (Mp, 1.0 μ g/ml) plus LPS (1.0 μ g/ml) and SEB (1.0 μ g/ml) during the entire culture period. Data are mean \pm SD.

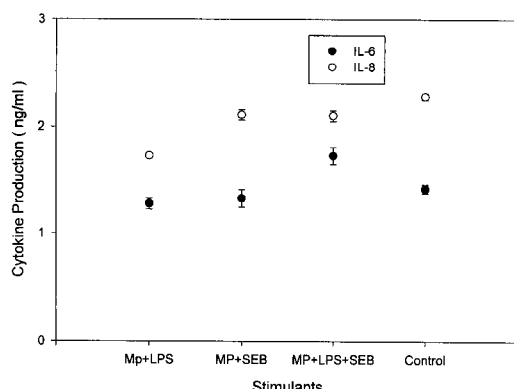


Figure 2. Production of IL-6 and IL-8 in cultures of human fibroblast exposed to *M. pneumoniae* plus bacterial toxins. Supernatants were collected after 24 hr. Cultures were exposed to *M. pneumoniae* lysate (Mp, 1.0 μ g/ml) plus LPS (1.0 μ g/ml) and SEB (1.0 μ g/ml) during the entire culture period. Data are mean \pm SD.

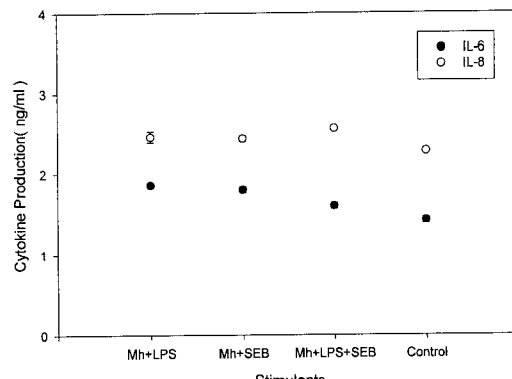


Figure 4. Production of IL-6 and IL-8 in cultures of human fibroblast exposed to *M. hominis* plus bacterial toxins. Supernatants were collected after 24 hr. Cultures were exposed to *M. hominis* lysate (Mp, 1.0 μ g/ml) plus LPS (1.0 μ g/ml) and SEB (1.0 μ g/ml) during the entire culture period. Data are mean \pm SD.

을 위한 시험도 동시에 시행하였다.

5. 통계학적 분석

실험 성적은 평균 또는 평균 \pm 표준편차로 나타냈으며 각 군간의 통계학적 검정에는 Student's t-test를 사용하고 p값이 0.05 이하일 때 의의 있는 차로 간주하였다.

결 과

초대배양한 사람 섬유아세포에 lipopolysaccharide (LPS), *Staphylococcus* enterotoxin B (SEB), 혹은 mycoplasmas 항원을 단독노출시키거나 mycoplasmas 항원노출과 함께 LPS 혹은 SEB를 중복노출시켰을 때 세포로부터 유출되어 나타나는 IL-6과 IL-8을 정량 분석하였다.

세포에 자극물들을 단독으로 작용시켜 얻은 배양상층액의 IL-6의 농도는 Table 1에 나타난 바와 같다. 대조 군에 비하여 유의성 있는 감소가 각 시간대에서 나타나고 있다. 그러나 mycoplasmas 항원노출과 함께 LPS나 SEB를 작용시켰을 때는 mycoplasmas 항원 단독노출 때보다 증가되는 경향을 보였으며 *M. pneumoniae* (Mp)+LPS 작용 2시간, Mp+LPS+SEB 작용 24시간, *M. fermentans* (Mf)+LPS 작용 24시간, Mf+LPS+SEB 작용 2시간, *M. hominis* (Mh)+LPS나 Mh+SEB 혹은 Mh+LPS+SEB 작용은 모두 24시간째에서 대조 군보다 상승되어 나타났다.

세포에 자극물들을 단독으로 작용시켜 얻은 배양상층액의 IL-8의 농도는 Table 2에 나타난 바와 같다. 모든 자극물의 노출에서 대조 군보다 유의성 있는 감소를 보였다. 그러나 중복노출의 경우에는 Mf+LPS+SEB 작용 2시간째에서 상승효과를 보였으며 Mh+LPS나 Mh+SEB 혹은 Mh+LPS+SEB 작용은 모두 24시간째에서 IL-6의 생성 때와 마찬가지로 대조 군에 비하여 상승을 보였다.

IL-6와 IL-8의 생성을 비교하면 세포만의 배양에서 24시간째에 IL-8이 IL-6 보다 높게 생성되고 있으며 각 자극물의 단독노출 시 IL-8의 생성이 IL-6의 생성 때보다 큰 폭으로 감소하고 있다. IL-6의 경우 Mh 노출에서 감소효과가 가장 크게 나타났으며 IL-8은 SEB 노출에서 가장 크게 저하되었다 (Fig. 1). Mp와의 중복노출에서는 IL-8의 경우 대조 군에 비하여 비교적 완만한 감소효과를 보였으며 Mp+LPS 작용군에서 가장 큰 감소효과를 보였다. 그러나 IL-6은 Mp+LPS+SEB 작용 시 오히려 상승효과를 보이고 있다 (Fig. 2). Mf와의 중복노출에서는 Mf+LPS 작용군에서만 상승되고 있다 (Fig. 3). Mh와의 중복노출에서는 모든 노출군에서 IL-6 및 IL-8 모두 상승되는 특징을 보였다 (Fig. 4).

고 찰

사이토카인의 생체에 미치는 작용은 양면성을 가지고 있기 때문에 감염숙주로부터 생성된 각종 사이토카인은 감염방어의 직접적 발현이나 감염방어면역의 유도에 불가결한 작용을 나타내는 한편, 발열이나 쇼크, 염증성 육아종 등 생체에 이롭지 못한 감염병 형성에도 한 역할을 맡고 있다^{24,29)}.

IL-6는 분자량 26 KD의 당단백질로서 212개의 아미노산으로 구성되어 있으며 B 세포에 작용하여 그의 분화와 항체 생성을 촉진하고 간세포에도 작용하여 단백질의 생성을 자극함으로서 여러 염증반응에 관여 한다^{23,27,31,36,39)}.

IL-8은 케모카인의 일종으로서 72~79개의 아미노산으로 이루어진 분자량 6~8 KD의 폴리펩타이드이다. 여러 가지 염증성 질환에서 그 생성이 증가하고 있으며 호중구, T림프구, 호염기구를 염증조직에 유주시키는 백혈구주화성활성인자로서 작용하고 있다^{4,18,20,33)}.

감염부위에서 염증이 야기되면 IL-8과 같은 주화인자에 의해서 모여든 호중구나 대식세포 등이 세균과 접촉하여 IL-6 등의 염증성 사이토카인을 생성한다^{1,3,26)}.

본 실험에서는 초대배양한 사람의 섬유아세포에 자극물로서 이용되는 세균독소인 lipopolysaccharide (LPS), *Staphylococcus enterotoxin B* (SEB)나 mycoplasmas 항원을 단독으로 작용시키거나 mycoplasmas 항원과 함께 LPS나 SEB를 추가 작용시켰을 때 세포에서 생성되어 유출되는 IL-6과 IL-8의 양에 어떤 차이가 있는지를 결정하기 위하여 배양시간에 따른 세포 배양상층액을 수거하여 정량하였다.

IL-6의 생성은 자극물 없이 세포만의 배양에서 상당량 생성됨으로서 섬유아세포가 아닌 다른 종류의 세포들에서도 IL-6의 생성이 확인된 타 연구자들의 성적과 일치하였다⁴⁾. 그러나 LPS를 비롯한 전 자극물들을 단독으로 노출시켰을 때 세포만의 배양 때보다 각각의 시간대에서 유의한 감소를 보임으로서 타 연구자들에 의해서 밝혀진^{14,11,19,34)}, 대식세포를 비롯한 다른 세포배양에서 보여지는 증가효과와는 차이를 보였다 (Table 1). *M. pneumoniae* (Mp) 항원과의 중복노출에서는 전반적으로 단독노출 때보다 증가되는 양상을 보였으며 자극물과 배양시간에 따라서는 대조 군보다 높게 나타나는 경우도 있었다. 즉, Mp+LPS 노출, 2시간과 Mp+LPS+SEB 노출, 24시간째에 대조 군에 비하여 유의한 상승을 보였다. *M. fermentans* (Mf) 항원과의 중복노출에서도 마찬가지로 전반적인 상승효과를 보였으나 자극물과 배양시간에 따라서 Mp 때와는 다른 양상을 보였다. 즉, Mf+LPS 노출, 24시간과 Mf+LPS+SEB 노출, 2시간째에 대조 군보다 높게 나타났다. *M. hominis* (Mh) 항원과의 중복노출에서는 Mp나 Mf와는 또 다른

특성을 보였다. 즉, 중복노출 모두 24시간째에서만 대조 군보다 높게 나타났다. 이와 같은 결과는 단독노출에서의 IL-6 생성억제력이 중복노출됨으로서 감소되는 것과 균종 즉 자극의 종류 및 자극시간에 따라서는 대조 군보다 높게 나타남으로서 면역환경에 섬유아세포가 영향을 미칠 수 있을 것으로 생각된다.

IL-8의 생성은 자극물 없이 세포만의 배양에서 생성되어 나타나고 있으며 자극물의 단독 혹은 중복노출에서 대조 군에 비하여 감소되는 양상을 나타냈다. 그러나 Mf+LPS+SEB 노출, 2시간째에서 대조 군보다 높게 나타나는 것을 알 수 있었으며 IL-6 생성 때와 마찬가지로 Mh와의 중복노출에서는 24시간째에 증가되는 것을 알 수 있었다 (Table 2).

자극물들을 세포에 노출시킨지 24시간만의 IL-6과 IL-8 생성량을 비교하였을 때 자극물 단독노출 시 두 종의 사이토카인 모두 대조 군에 비하여 감소를 보이고 있지만 IL-8의 생성량이 IL-6의 경우보다 크게 감소를 보임으로서 IL-8의 영향을 받아 염증부위로 유주하는 세포는 줄어들 것으로 보인다 (Fig. 1). Mp 항원과 중복노출 시에는 Mp+LPS+SEB의 경우 IL-6의 량이 증가됨으로서 IL-6 관련 면역반응은 상승될 것이다 (Fig. 2). Mf 항원과의 중복노출 중에서 Mf+LPS에서도 IL-6 관련 면역반응의 상승이 예상되고 있다 (Fig. 3). Mh 항원과의 중복노출의 경우는 모두 IL-6와 IL-8의 생성이 증가됨으로서 염증부위로 유주하는 세포 수의 증가와 IL-6 관련 면역반응의 상승이 짐작된다 (Fig. 4).

이와 같이 LPS 등의 자극물의 영향을 받지 않고도 섬유아세포는 IL-6나 IL-8을 생성하여 생체면역반응에 가담할 것으로 보여지며 이들 자극물들의 종류 및 노출시간에 따라서는 생체 내에서 전체 IL-6과 IL-8 생성량에 영향을 줄 수 있을 것으로 보인다. 대식세포를 비롯한 여러 종류의 세포들이 이들 자극물의 영향을 받아 다량의 IL-6나 IL-8을 생성할 때 섬유아세포는 이들 자극물에 노출됨으로서 이들 사이토카인의 생성을 줄일 수 있음은 IL-6나 IL-8과 관련된 면역반응의 하강조절작용 가능성을 예측케 한다. 또한 Mh항원의 중복노출의 경우와 같이 일정시간이 지난 후 IL-6나 IL-8과 관련된 면역반응의 상승조절작용을 나타낼 가능성도 보이고 있다.

결 론

사람 섬유아세포를 초대배양하고 여기에 mycoplasmas 항원이나 *Staphylococcus enterotoxin B* (SEB), lipopolysaccharide (LPS)와 같은 독소를 노출시키거나 이들을 혼합 자극시켰을 때 나타나는 염증관련 물질로서의 interleukin-6 (IL-6)과 interleukin-8 (IL-8)의 생성능을 보고자 하였다.

IL-6의 생성은 자극물 없이 세포만의 배양에서도 생성되었으며 LPS를 비롯한 전 자극물들을 단독으로 노출시켰을 때 세포만의 배양 때보다 각각의 시간대에서 유의한 감소를 보였다. *M. pneumoniae* 항원과의 중복노출에서는 단독노출 때보다 증가되는 양상을 보였으며 자극물과 배양시간에 따라서는 대조 군보다 높게 나타나는 경우도 있었다. *M. fermentans* 항원과의 중복노출에서도 전반적인 상승효과를 보였으나 자극물과 배양시간에 따라서 *M. pneumoniae* 항원노출 때와는 다른 양상을 보였다. *M. hominis* 항원과의 중복노출에서는 *M. pneumoniae* 항원이나 *M. fermentans* 항원노출 때와는 또 다른 특성을 보였다. 이와 같은 결과는 단독노출에서의 IL-6 생성억제력이 중복노출됨으로서 감소되는 것과 균종 즉 자극의 종류 및 자극시간에 따라서는 대조 군보다 높게 나타남으로서 면역환경에 섬유아세포가 영향을 미칠 수 있을 것으로 생각된다.

IL-8의 생성은 자극물 없이 세포만의 배양에서도 나타나고 있으며 자극물의 단독 혹은 중복노출에서 대조 군에 비하여 감소되는 양상을 나타냈으나 *M. fermentans* 항원과의 중복노출, 2시간째에서 대조 군보다 높게 나타났으며 IL-6 생성 때와 마찬가지로 *M. hominis* 항원과의 중복노출에서는 24시간째에 증가되었다.

자극물들을 세포에 노출시킨지 24시간만의 IL-6과 IL-8 생성량을 비교하면 자극물 단독노출 시 두 종의 사이토카인 모두 대조 군에 비하여 감소를 보이지만 IL-8의 생성량이 IL-6의 경우보다 크게 감소를 보였다. *M. pneumoniae* 항원과 중복노출 시에는 IL-6의 량이 증가되었으며 *M. fermentans* 항원과의 중복노출 중에서도 IL-6의 량이 증가하였다. *M. hominis* 항원과의 중복노출에서는 IL-6와 IL-8의 생성이 모두 증가되었다.

이와 같이 LPS 등과 같은 자극물의 영향을 받지 않고도 섬유아세포는 IL-6나 IL-8을 생성하여

생체면역반응에 가담할 것으로 보여지며 이들 자극물들의 종류 및 노출시간에 따라서는 생체 내에서 전체 IL-6과 IL-8 생성량에 영향을 줄 수 있을 것으로 보인다.

참 고 문 현

- 1) Aihara M, Tsuchimoto D, Takizawa H, Azuma A, Wakebe H, Ohmoto Y, Imagawa K, Kikuchi M, Mukaida N, Matsushima K: Mechanisms involved in *Helicobacter pylori*-induced interleukin-8 production by a gastric cancer cell line, MKN 45. *Infect Immun* **65**: 3218-3224, 1997.
- 2) Andus T, Geiger T, Hirano T, Northoff H, Ganter U, Bauer J, Kishimoto T, Heinrich PC: Recombinant human B-cell stimulatory factor 2 (BSF-2/IFN β 2) regulates β -fibrinogen and albumin mRNA levels in Fao-9 cells. *FEBS Lett* **221**: 18-22, 1987.
- 3) Bansal AS, Hogan PG, Prichard P, Powell EE: Serum soluble CD23 but not IL8, IL10, GM-csf, or IFN- γ is elevated in patients with hepatitis C infection. *Cli Immunol Immunopathol* **84**: 139-144, 1997.
- 4) Basol F, Conaldi PG, Fiore L, Calvo S, Toniolo A: Normal breast epithelial cells produce interleukin 6 and 8 together with tumor necrosis factor: Defective IL6 expression in mammary carcinoma. *Int J Cancer* **55**: 926-930, 1993.
- 5) Black K, Garrett IR, Mundy GR: Chinese hamster ovarian cells transfected with the murine interleukin-6 gene cause hypercalcemia as well as cachexia, leukocytosis and thrombocytosis in tumor-bearing nude mice. *Endocrinology* **128**: 2657-2659, 1991.
- 6) Castell JV, Gomez-Lechon MJ, David M, Hirano T, Kishimoto T, Heinrich PC: Recombinant human interleukin-6 (IL-6/BSF-2/HSF) regulates the synthesis of acute phase proteins in human hepatocytes. *FEBS Lett* **232**: 347-350, 1988.
- 7) Kishimoto T: The Biology of Interleukin-6. *Blood* **74**: 1-10, 1988.
- 8) Muhrad P, Schade U: MDHM, a macrophage-stimulatory product of *Mycoplasma fermentans*, leads to in vitro interleukin-1 (IL-1), IL-6, tumor necrosis factor, and prostaglandin production and is pyrogenic in rabbits. *Infect Immun* **59**: 3969-3974, 1991.
- 9) Erroi A, Fantuzzi G, Mengozzi M, Sironi M, Orencole SF, Clark BD, Dinarello CA, Isetta A, Gnocchi P, Giovarelli M, Ghezzi P: Differential regulation of cytokine production in lipopolysaccharide tolerance in mice. *Infect Immun* **61**: 4356-4359, 1993.
- 10) Foreback JL, Remick DG, Crockett-Torabi E, Ward PA: Cytokine responses of human blood monocytes stimulated with IgG. *Inflammation* **21**: 501-517, 1997.
- 11) Fuseler JW, Conner EM, Davis JM, Wolf RE, Grisham MB: Cytokine and nitric oxide production in the acute phase of bacterial cell wall-induced arthritis. *Inflammation* **21**: 113-131, 1997.
- 12) Gauldie J, Richards C, Harnish D, Lansdorp P, Baumann H: Interferon β 2/B-cell stimulating factor type 2 shares identity with monocyte-derived hepatocyte-stimulating factor and regulates the major acute phase protein response in liver cells. *Proc Natl Acad Sci USA* **84**: 7251-7255, 1987.
- 13) Geiger T, Andus T, Klapproth J, Hirono T, Kishimoto T, Heinrich PC: Induction of rat acute-phase proteins by interleukin-6 in vivo. *Eur J Immunol* **18**: 717-721, 1988.
- 14) Ghanekar S, Zheng L, Logar A, Navratil J, Borowski L, Gupta P, Rinaldo C: Cytokine expression by human peripheral blood dendritic cells stimulated in vitro with HIV-1 and Herpes simplex virus. *J Immunol* **157**: 4028-4036, 1996.
- 15) Gollnick SO, Liu X, Owczarczak B, Musser DA, Henderson BW: Altered expression of interleukin 6 and interleukin 10 as a result of photodynamic therapy in vivo. *Cancer Res* **57**: 3904-3909, 1997.
- 16) Ito R, Yasui W, Kuniyasu H, Yokoyaki H, Tashiro E: Expression of interleukin-6 and its effect on the cell growth of Gastric carcinoma cell lines. *Jpn J Cancer Res* **88**: 953-958, 1997.
- 17) Jotwani R, Tanaka Y, Watanabe K, Tanaka-Bandoh K, Kato N: Comparison of cytokine induction by lipopolysaccharide of *Bacteroides fragilis* with *Salmonella typhimurium* in mice. *Microbiol*

- Immunol* **38**: 763-766, 1994.
- 18) Kammouni W, Figarella C, Marchand S, Merten M: Altered cytokine production by cystic fibrosis tracheal gland serous cells. *Infect Immun* **65**: 5176-5183, 1997.
 - 19) Edmiston KH, Gangopadhyay A, Shoji Y, Nachman AP, Thomas P, Jessup JM: *In vivo* induction of murine cytokine production by carcinoembryonic antigen. *Cancer Res* **57**: 4432-4436, 1997.
 - 20) Kusner DJ, Luebbers EL, Nowinski RJ, Konieczkowski M, King CH, Sedor JR: Cytokine- and LPS-induced synthesis of interleukin-8 from human mesangial cells. *Kidney Intl* **39**: 1240-1248, 1991.
 - 21) Lacasse C, Turcotte S, Gingras D, Stankova J, Rola-Pleszczynski M: Platelet-activating factor stimulates interleukin-6 production by human endothelial cells and synergizes with tumor necrosis factor for enhanced production of granulocyte-macrophage colony stimulating factor. *Inflammation* **21**: 145-158, 1997.
 - 22) Mattei S, Colombo MP, Melani C, Silvani A, Parmiani G, Herlyn M: Expression of cytokine/growth factors and their receptors in human melanoma and melanocytes. *Int J Cancer* **56**: 853-857, 1994.
 - 23) Mori N, Shirakawa F, Murakami S, Oda S, Eto S: Inhibitory effect of interleukin 4 on production of interleukin 6 by adult T-cell leukemia cells. *Cancer Res* **53**: 4643-4647, 1993.
 - 24) Elias JA, Lentz V: IL-1 and tumor necrosis factor synergistically stimulate fibroblast IL-6 production and stabilize IL-6 messenger RNA. *J Immunol* **145**: 161-166, 1990.
 - 25) Nijsteijn NWN, De Groot E, Ten Duis JH, Hack CE, Aarden LA: Serum levels of interleukin-6 and acute phase responses. *Lancet* **ii**: 921, 1987.
 - 26) Noah TL, Henderson FW, Wortman IA, Devlin RB, Handy J, Koren HS, Becker S: Nasal cytokine production in viral acute upper respiratory infection of childhood. *J Infect Dis* **171**: 584-592, 1995.
 - 27) Ogle C, Guo X, Szczur K, Hartmann S, Ogle JD: Production of tumor necrosis factor, interleukin-6 and prostaglandin E₂ by LPS-stimulated rat bone marrow macrophages after thermal injury: effect of indomethacin. *Inflammation* **18**: 175-185, 1994.
 - 28) Ogle CK, Wu J, Mao X, Szczur K, Alexander W, Ogle JD: Heterogeneity of kupffer cells and splenic, alveolar, and peritoneal macrophages for the production of TNF, IL-1, and IL-6. *Inflammation* **18**: 511-523, 1994.
 - 29) Powell JL, Wright AC, Wasserman SS, Hone DM, Morris JG: Release of tumor necrosis factor alpha in response to *Vibrio vulnificus* capsular polysaccharide in *in vivo* and *in vitro* models. *Infect Immun* **65**: 3713-3718, 1997.
 - 30) Salas MA, Brown OA, Perone MJ, Castro MG, Goya RG: Effect of the corticotrophin releasing hormone precursor on interleukin-6 release by human mononuclear cells. *Clin Immunol Immunopathol* **85**: 35-39, 1997.
 - 31) Scambia G, Testa U, Panici PB, Martucci R, Foti E, Petrini M, Amoroso M, Masciullo V, Peschle C, Mancuso S: Interleukin-6 serum levels in patients with gynecological tumors. *Int J Cancer* **57**: 318-323, 1994.
 - 32) Stanciu LA, Shute J, Holgate ST, Djukanovic R: Production of IL-8 and IL-4 by positively and negatively selected CD4⁺ and CD8⁺ human T cells following a four-step cell separation method including magnetic cell sorting (MACS). *J Immunol Methods* **189**: 107-115, 1996.
 - 33) Standiford TJ, Arenberg DA, Danforth JM, Kunkele SL, VanOtteren GM, Strieter RM: Lipoteichoic acid induces secretion of interleukin-8 from human blood monocytes : a cellular and molecular analysis. *Infect Immun* **62**: 119-125, 1994.
 - 34) Starnes HF, Pearce MK, Tewari A, Yim JH, Zou J, Abrams JS: Anti-IL-6 monoclonal antibodies protect against lethal *Escherichia coli* infection and lethal tumor necrosis factor- α challenge in mice. *J Immunol* **145**: 4185-4191, 1990.
 - 35) Steinshamn S, Waage A: Tumor necrosis factor and interleukin-6 in *Candida albicans* infection in normal and granulocytopenic mice. *Infect Immun* **60**: 4003-4008, 1992.
 - 36) Strassman G, Fong M, Kenny JS, Jacob CO: Evidence for the involvement of interleukin 6 in

김광혁, 장명웅: Mycoplasmas에 의한 IL-6와 IL-8의 생성

- 36) experimental cancer cachexia. *J Clin Invest* **89**: 1681-1684, 1992.
- 37) van der Poll T, Jansen J, Endert E, Sauerwein HP, van Deventer SJH: Noradrenaline inhibits lipopolysaccharide-induced tumor necrosis factor and interleukin 6 production in human whole blood. *Infect Immun* **62**: 2046-2050, 1994.
- 38) von Hunolstein C, Totolian A, Alfarone G, Man-
- cuso G, Cusumano V, Teti G, Orefici G: Soluble antigens from Group B Streptococci induce cytokine production in human blood cultures. *Infect Immun* **65**: 4017-4021, 1997.
- 39) Zhang XG, Klein B, Bataille R: Interleukin-6 is a potent myeloma-cell growth factor in patients with aggressive multiple myeloma. *Blood* **74**: 11-13, 1989.
-